

LATITUDE INTEGRATION
ESPECIFICAÇÃO IDCO

LATITUDE™ NXT
Sistema de Gestão de Pacientes

Outdated version. Do not use.
Version überholt. Nicht verwenden.
Version obsolète. Ne pas utiliser.
Versión obsoleta. No utilizar.
Versione obsoleta. Non utilizzare.
Verouderde versie. Niet gebruiken.
Föråldrad version. Använd ej.
Παλιά έκδοση. Μην την χρησιμοποιείτε.
Versão obsoleta. Não utilize.
Forældet version. Må ikke anvendes.
Zastaralá verze. Nepoužívat.
Utdatert versjon. Skal ikke brukes.
Zastaraná verzia. Nepoužívať.
Elavult versió. Ne használja!
Wersja nieaktualna. Nie używać.

Outdated version. Do not use.
Version überholt. Nicht verwenden.
Version obsolète. Ne pas utiliser.
Versión obsoleta. No utilizar.
Versione obsoleta. Non utilizzare.
Verouderde versie. Niet gebruiken.
Föråldrad version. Använd ej.
Παλιά έκδοση. Μην την χρησιμοποιείτε.
Versão obsoleta. Não utilize.
Forældet version. Må ikke anvendes.
Zastaralá verze. Nepoužívat.
Utdatert versjon. Skal ikke brukes.
Zastaraná verzia. Nepoužívať.
Elavult verzió. Ne használja!
Wersja nieaktualna. Nie używać.

ÍNDICE REMISSIVO

Resumo	1
Especificação da Mensagem IDCO do LATITUDE	1
Estrutura dos Segmentos	1
Estrutura do segmento MSH	1
Estrutura do segmento PID	2
Estrutura do segmento PV1	2
Estrutura do segmento PV2	2
Estrutura do segmento OBR	2
Estrutura do segmento OBX	3
Parâmetros de Produção	3
Definições de Alertas e Avisos	3
Relatórios	3
Termos de Base	4
Conversão de dados do dispositivo implantado em mensagens IDCO	9
Estado da bateria	9
SET_BRADY_SENSOR_TYPE	9
Mapeamento de Episódios	10
Mapeamento de Contadores	11
Mapeamento da Configuração do Electrocateter	12
Limitações do Sistema	12
Definições de Alertas e Avisos	13
Relatórios	13
Ficheiro IDCO de Exemplo	14

Outdated version. Do not use.
Version überholt. Nicht verwenden.
Version obsolète. Ne pas utiliser.
Versión obsoleta. No utilizar.
Versione obsoleta. Non utilizzare.
Verouderde versie. Niet gebruiken.
Föråldrad version. Använd ej.
Παλιά έκδοση. Μην την χρησιμοποιείτε.
Versão obsoleta. Não utilize.
Forældet version. Må ikke anvendes.
Zastaralá verze. Nepoužívat.
Utdatert versjon. Skal ikke brukes.
Zastaraná verzia. Nepoužívať.
Elavult verzió. Ne használja!
Wersja nieaktualna. Nie używać.

LATITUDE e RYTHMIQ são marcas registadas da Boston Scientific Corporation ou respectivas filiais.

Resumo

O sistema de monitorização remota de pacientes LATITUDE da Boston Scientific gera mensagens de Observação cardíaca de dispositivo implantável (IDCO), de acordo com as especificações e definições publicadas neste documento. As mensagens estão em conformidade com o perfil Integrating the Healthcare Enterprise (IHE) Patient Care Device (PCD) Technical Framework IDCO. Estas mensagens são utilizadas para fornecer dados do paciente aos sistemas Registo médico electrónico (EMR) ou Sistema de informação clínica (CIS).

Este documento destina-se aos clientes do LATITUDE da Boston Scientific (BSC) que (1) integram mensagens IDCO num EMR e (2) utilizam sistemas EMR ou CIS para controlar e gerir os dados dos pacientes. A primeira secção deste documento («Especificação da Mensagem IDCO do LATITUDE») destina-se sobretudo ao pessoal técnico envolvido na integração de mensagens, enquanto a segunda secção se destina sobretudo ao médico como esclarecimento adicional da versão da Boston Scientific dos dados incluídos na mensagem.

OBSERVAÇÃO: Assume-se que os leitores desta secção estão familiarizados com a terminologia HL7 e IDCO, sintaxe da especificação, tipos de dados, estruturas das mensagens e semântica das mensagens IDCO. Para mais informações, ver:

- www.hl7.org para mensagens HL7
- www.ihe.net para mensagens IDCO
- http://ihe.net/Technical_Framework/index.cfm#pcd para PCD-09 Technical Framework (composto pelos volumes 1, 2 e 3)
- <http://standards.ieee.org/findstds/standard/11073-10103-2012.html> para nomenclatura IEEE IDCO

Especificação da Mensagem IDCO do LATITUDE

A mensagem IDCO do LATITUDE é uma mensagem PCD-09 de acordo com o IHE PCD Technical Framework Revision 2.0 de 16 de Agosto de 2012. Segundo o quadro técnico, a mensagem é uma mensagem padrão não solicitada de observações e pedidos do HL7 v2.6 contendo observações efectuadas pelo dispositivo implantado e codificadas utilizando a nomenclatura IEEE 11073-10103 IDC. Esta norma internacional descreve um modelo universal de interoperabilidade dos dados electrónicos médicos.

Os valores entre aspas que constam nas colunas de valores nas tabelas que se seguem indicam valores codificados que aparecerão sempre conforme apresentado. Os valores sem aspas indicam um exemplo ou uma descrição do valor.

Estrutura dos Segmentos

Todos os dados enviados estão em conformidade com o PCD-09. As informações incluídas nesta secção visam definir a produção de mensagens IDCO da BSC. Não são exaustivas nem visam definir mais pormenorizadamente a nomenclatura IDCO.

Estrutura do segmento MSH

O segmento MSH contém informações sobre o emissor e o receptor da mensagem, o tipo de mensagem, um carimbo de data/hora, etc. É o primeiro segmento da mensagem IDCO.

NOME DO ELEMENTO	SEQ	SUB SEQ	VALOR
Aplicação de envio	3		«LATITUDE»
Instalação de envio	4		«BOSTON SCIENTIFIC»
Instalação de recepção	6		Nome do Centro LATITUDE
Conjunto de caracteres	18		«UNICODE UTF-8»

Estrutura do segmento PID

O segmento PID contém informações de identificação do paciente, tal como o nome, códigos de identificação, código postal, etc. Estas informações são utilizadas para confirmação do paciente.

NOME DO ELEMENTO	SEQ	SUB SEQ	VALOR
ID do espaço de nomes	3	4	«BSX»

Estrutura do segmento PV1

O segmento PV1 (Visita do paciente) contém informações acerca do médico assistente do paciente.

NOME DO ELEMENTO	SEQ	SUB SEQ	VALOR
Classe de paciente	2		«R»

Estrutura do segmento PV2

O segmento PV2 (Visita do paciente 2) contém informações acerca do grupo LATITUDE do paciente.

NOME DO ELEMENTO	SEQ	SUB SEQ	VALOR
Nome da organização (grupo)	23	1	Nome do grupo LATITUDE Exemplo: Cardiologia
Número de ID (grupo de pacientes principal ou secundário)		3	1 Ver observação 1

Observações PV2

- Este valor será «1» se o ficheiro HL7 estiver associado ao grupo LATITUDE principal e será «2» se estiver associado ao grupo LATITUDE secundário.

Estrutura do segmento OBR

Os segmentos OBR são os cabeçalhos de secção para os segmentos de informações referentes a interrogações OBX individuais. Contêm dados como carimbos de data/hora, identificador de relatórios e um identificador único gerado no sistema.

NOME DO ELEMENTO	SEQ	SUB SEQ	VALOR DE EXEMPLO
Identificador de serviço universal	4		
Identificador		1	754053
Texto		2	Ver observação 1
N.º de data/hora da observação	7		20060429080005+0000 Ver observação 2
Estado do Resultado	25		«F» Ver observação 3

Observações OBR

1. O texto do identificador de serviço universal terá o formato MDC_IDC_ENUM_SESS_TYPE_{tipo de sessão} (por ex., MDC_IDC_ENUM_SESS_TYPE_RemoteScheduled).
2. A data/hora da observação será o carimbo de data/hora de ocorrência da interrogação do dispositivo implantado. O carimbo de data/hora estará no fuso horário definido para o paciente.
3. O estado do resultado será «F» (resultados finais).

Estrutura do segmento OBX

Os segmentos OBX contêm dados reunidos durante a interrogação mais recente do dispositivo.

NOME DO ELEMENTO	SEQ	SUB SEQ	VALOR DE EXEMPLO
Estado do resultado da observação	11		«F» Ver observação 1
Data/Hora da observação	14		20060317170000+0000 Ver observação 2

Observações OBX

1. O estado do resultado será «F» (resultados finais).
2. A data da medição será incluída se a mesma diferir da data de observação no OBR.

Parâmetros de Produção

- As cadeias serão enviadas no idioma configurado para o centro no LATITUDE.
- Os valores numéricos serão sempre enviados utilizando o ponto «.» como o ponto de base (ou seja, ponto decimal).

Definições de Alertas e Avisos

- Se houver um aviso, um NTE de aviso precederá um ou mais NTE de alerta. Um NTE de aviso conterà um ou mais avisos em um NTE.
- Se houver um alerta, haverá um NTE para cada alerta.

Relatórios

Relatório EGM Apresentado

Se disponível na carga recebida do PG, o Relatório EGM Apresentado é anexado à mensagem em formato PDF e é associado ao episódio APMRT adequado utilizando o ID de grupo (OBX-4) para o episódio APMRT.

Relatório de Acompanhamento Combinado

Um Relatório de acompanhamento combinado é anexado à mensagem em formato PDF num OBX separado.

Termos de Base

A tabela que se segue enumera os termos de nomenclatura que podem ser incluídos numa mensagem IDCO da BSC.

ID DE REFERÊNCIA PREFIXO MDC_IDC_	NOME APRESENTADO
DEV	Dispositivo cardíaco implantável
DEV_TYPE	Tipo de dispositivo cardíaco implantável
DEV_MODEL	Modelo do dispositivo cardíaco implantável
DEV_SERIAL	Número de série do dispositivo cardíaco implantável
DEV_MFG	Fabricante do dispositivo cardíaco implantável
DEV_IMPLANT_DT	Data de implante do dispositivo cardíaco implantável
LEAD	Atributos do electrocateter implantável
LEAD_MODEL	Modelo do electrocateter implantável
LEAD_SERIAL	Número de série do electrocateter implantável
LEAD_MFG	Fabricante do electrocateter implantável
LEAD_IMPLANT_DT	Data de implante do electrocateter implantável
LEAD_POLARITY_TYPE	Tipo de Polaridade do electrocateter implantável
LEAD_LOCATION	Localização do electrocateter implantável
LEAD_LOCATION_DETAIL_1	Detalhe 1 da localização do electrocateter implantável
SESS	Sessão de interrogação
SESS_DTM	Data/Hora da sessão de interrogação
SESS_TYPE	Tipo de sessão de interrogação
SESS_CLINIC_NAME	Nome do centro
MSMT	Medições
MSMT_BATTERY	Medições da bateria
MSMT_BATTERY_DTM	Data/Hora das medições da bateria
MSMT_BATTERY_STATUS	Estado da bateria
MSMT_BATTERY_REMAINING_LONGEVITY	Longevidade restante da bateria
MSMT_BATTERY_REMAINING_PERCENTAGE	Porcentagem restante da bateria
MSMT_CAP	Medições do condensador
MSMT_CAP_CHARGE_DTM	Data/Hora da última carga do condensador
MSMT_CAP_CHARGE_TIME	Tempo de carga do condensador
MSMT_CAP_CHARGE_TYPE	Tipo de carga do condensador
MSMT_LEADCHNL_[CHAMBER]	Medições do canal do electrocateter
MSMT_LEADCHNL_[CHAMBER]_DTM_[STRTEND]	Data e hora das medições do canal do electrocateter
MSMT_LEADCHNL_[CHAMBER]_LEAD_CHANNEL_STATUS	Estado do canal do electrocateter

ID DE REFERÊNCIA PREFIXO MDC_IDC_	NOME APRESENTADO
MSMT_LEADCHNL_[CHAMBER]_SENSING	Medições de detecção do canal do electrocateter
MSMT_LEADCHNL_[CHAMBER]_SENSING_INTR_AMPL_[MMM]	Amplitude intrínseca de detecção do canal do electrocateter
MSMT_LEADCHNL_[CHAMBER]_SENSING_POLARITY	Polaridade de detecção do canal do electrocateter
MSMT_LEADCHNL_[CHAMBER]_PACING_THRESHOLD	Medições do limiar de estimulação do canal do electrocateter
MSMT_LEADCHNL_[CHAMBER]_PACING_THRESHOLD_AMPLITUDE	Amplitude do limiar de estimulação do canal do electrocateter
MSMT_LEADCHNL_[CHAMBER]_PACING_THRESHOLD_PULSEWIDTH	Largura do impulso de limiar de estimulação do canal do electrocateter
MSMT_LEADCHNL_[CHAMBER]_PACING_THRESHOLD_MEASUREMENT_METHOD	Método de medição do limiar de estimulação do canal do electrocateter
MSMT_LEADCHNL_[CHAMBER]_PACING_THRESHOLD_POLARITY	Polaridade do limiar de estimulação do canal do electrocateter
MSMT_LEADCHNL_[CHAMBER]_IMPEDANCE	Medições de impedância do canal do electrocateter
MSMT_LEADCHNL_[CHAMBER]_IMPEDANCE_VALUE	Valor de impedância do canal do electrocateter
MSMT_LEADCHNL_[CHAMBER]_IMPEDANCE_POLARITY	Polaridade de impedância do canal do electrocateter
MSMT_LEADHVCHNL	Medições do canal de alta tensão do electrocateter
MSMT_LEADHVCHNL_DTM_[STRTEND]	Data/Hora do canal de alta tensão do electrocateter
MSMT_LEADHVCHNL_IMPEDANCE	Impedância do canal de alta tensão do electrocateter
MSMT_LEADHVCHNL_MEASUREMENT_TYPE	Tipo de medição do canal de alta tensão do electrocateter
MSMT_LEADHVCHNL_STATUS	Estado do canal de alta tensão do electrocateter
SET	Definições
SET_CRT	Definições de CRT
SET_CRT_LVRV_DELAY	Intervalo LV-RV de CRT
SET_CRT_PACED_CHAMBERS	Câmaras ventriculares estimuladas durante a estimulação de CRT

ID DE REFERÊNCIA PREFIXO MDC_IDC_	NOME APRESENTADO
SET_LEADCHNL_[CHAMBER]	Definições do canal do electrocateter
SET_LEADCHNL_[CHAMBER]_SENSING	Definições de detecção do canal do electrocateter
SET_LEADCHNL_[CHAMBER]_SENSING_ SENSITIVITY	Definição da sensibilidade de detecção do canal do electrocateter
SET_LEADCHNL_[CHAMBER]_SENSING_ POLARITY	Definição da polaridade de detecção do canal do electrocateter
SET_LEADCHNL_[CHAMBER]_SENSING_ ANODE_LOCATION_[1..3]	Definição da localização do ânodo de detecção do canal do electrocateter
SET_LEADCHNL_[CHAMBER]_SENSING_ ANODE_ELECTRODE_[1..3]	Definição do terminal do ânodo de detecção do canal do electrocateter
SET_LEADCHNL_[CHAMBER]_SENSING_ CATHODE_LOCATION_[1..3]	Definição da localização do cátodo de detecção do canal do electrocateter
SET_LEADCHNL_[CHAMBER]_SENSING_ CATHODE_ELECTRODE_[1..3]	Definição do terminal do cátodo de detecção do canal do electrocateter
SET_LEADCHNL_[CHAMBER]_SENSING_ ADAPTATION_MODE	Definição do modo de adaptação de detecção do canal do electrocateter
SET_LEADCHNL_[CHAMBER]_PACING	Definições de estimulação do canal do electrocateter
SET_LEADCHNL_[CHAMBER]_PACING_ AMPLITUDE	Definição da amplitude de estimulação do canal do electrocateter
SET_LEADCHNL_[CHAMBER]_PACING_ PULSEWIDTH	Definição da largura do impulso de estimulação do canal do electrocateter
SET_LEADCHNL_[CHAMBER]_PACING_ POLARITY	Definição da polaridade de estimulação do canal do electrocateter
SET_LEADCHNL_[CHAMBER]_PACING_ ANODE_LOCATION_[1..3]	Definição da localização do ânodo de estimulação do canal do electrocateter
SET_LEADCHNL_[CHAMBER]_PACING_ ANODE_ELECTRODE_[1..3]	Definição do terminal do ânodo de estimulação do canal do electrocateter
SET_LEADCHNL_[CHAMBER]_PACING_ CATHODE_LOCATION_[1..3]	Definição da localização do cátodo de estimulação do canal do electrocateter
SET_LEADCHNL_[CHAMBER]_PACING_ CATHODE_ELECTRODE_[1..3]	Definição do terminal do cátodo de estimulação do canal do electrocateter
SET_LEADCHNL_[CHAMBER]_PACING_ CAPTURE_MODE	Definição do modo de captura de estimulação do canal do electrocateter

ID DE REFERÊNCIA PREFIXO MDC_IDC_	NOME APRESENTADO
SET_BRADY	Definições de Brady
SET_BRADY_MODE	Definição do Modo Brady (Código NBG)
SET_BRADY_LOWRATE	Definição do limite inferior de frequência de Brady
SET_BRADY_SENSOR_TYPE	Definição do tipo de sensor de Brady
SET_BRADY_MAX_TRACKING_RATE	Definição da frequência máxima de seguimento de Brady
SET_BRADY_MAX_SENSOR_RATE	Definição da frequência máxima do sensor de Brady
SET_BRADY_SAV_DELAY_[HIGHLOW]	Definição do intervalo SAV de Brady
SET_BRADY_PAV_DELAY_[HIGHLOW]	Definição do intervalo PAV de Brady
SET_BRADY_AT_MODE_SWITCH_MODE	Definição do modo de comutação de modo de AT de Brady
SET_BRADY_AT_MODE_SWITCH_RATE	Definição da frequência de comutação de modo de AT de Brady
SET_TACHYTHERAPY	Definições da terapêutica de taqui
SET_TACHYTHERAPY_VSTAT	Definição do estado ventricular da terapêutica de Taqui
SET_ZONE	Definições de zona
SET_ZONE_TYPE	Definição da categoria de tipo de zona
SET_ZONE_VENDOR_TYPE	Definição da categoria de tipo de fornecedor de zona
SET_ZONE_STATUS	Definição do estado de zona
SET_ZONE_DETECTION_INTERVAL	Definição do intervalo de detecção de zona
SET_ZONE_TYPE_ATP_[1..10]	Definição do tipo de ATP de zona
SET_ZONE_NUM_ATP_SEQS_[1..10]	Definição do número de sequências de ATP de zona
SET_ZONE_SHOCK_ENERGY_[1..10]	Definição da energia de choque de zona
SET_ZONE_NUM_SHOCKS_[1..10]	Definição do número de choques de zona
STAT	Estatísticas
STAT_DTM_[STRTEEND]	Estatísticas de data/hora
STAT_BRADY	Estatísticas de Brady
STAT_BRADY_DTM_[STRTEEND]	Estatísticas de data/hora de Brady
STAT_BRADY_RA_PERCENT_PACED	Estatísticas de percentagem de AD estimulada de Brady
STAT_BRADY_RV_PERCENT_PACED	Estatísticas de percentagem de RV estimulado de Brady
STAT_CRT	Estatísticas de CRT
STAT_CRT_DTM_[STRTEEND]	Estatísticas de data/hora de CRT
STAT_CRT_LV_PERCENT_PACED	Estatísticas de percentagem de LV estimulado de CRT

ID DE REFERÊNCIA PREFIXO MDC_IDC_	NOME APRESENTADO
STAT_EPISODE	Estatísticas de episódio
STAT_EPISODE_TYPE	Estatísticas da categoria de tipo de episódio
STAT_EPISODE_TYPE_INDUCED	Estatísticas do tipo de episódio induzido
STAT_EPISODE_VENDOR_TYPE	Estatísticas da categoria de episódio de tipo de fornecedor
STAT_EPISODE_RECENT_COUNT	Estatísticas da contagem recente de episódios
STAT_EPISODE_RECENT_COUNT_DTM_ [STRTEAD]	Estatísticas da data/hora recente de episódios
EPISODE	Episódio
EPISODE_ID	Identificador do episódio
EPISODE_DTM	Data/Hora do episódio
EPISODE_TYPE	Categoria de tipo de episódio
EPISODE_TYPE_INDUCED	Sinalizador de episódio de tipo induzido
EPISODE_VENDOR_TYPE	Categoria de episódio de tipo de fornecedor
EPISODE_ATRIAL_INTERVAL_AT_DETECTION	Deteção do intervalo auricular do episódio
EPISODE_VENTRICULAR_INTERVAL_AT_DETECTION	Deteção do intervalo ventricular do episódio
EPISODE_DETECTION_THERAPY_DETAILS	Detalhes da terapêutica e deteção do episódio
EPISODE_DURATION	Duração do episódio

Conversão de dados do dispositivo implantado em mensagens IDCO

Estado da bateria

As enumerações para os parâmetros da bateria estão associadas ao estado da bateria da BSC como se segue:

ESTADO DA BATERIA DA BSC	ESTADO DA BATERIA DA IDCO
BOL	BOS
OY	MOS
ERI	RRT
EOL	EOS

Quando um dispositivo implantado introduz telemetria limitada, o seu estado da bateria pode ser ERI ou EOL. Estes estados da bateria resultarão na mesma mensagem: ENUM_BATTERY_STATUS_RRT (ERI) em MSMT_BATTERY_STATUS com o carimbo de data/hora ERI em MSMT_BATTERY_DTM. Esta condição aplica-se apenas à telemetria limitada.

SET_BRADY_SENSOR_TYPE

O tipo de sensor será enviado conforme apresentado na tabela abaixo.

VALOR ENVIADO PARA A VARIÁVEL SET_BRADY_SENSOR_TYPE COM BASE NA CONFIGURAÇÃO DO DISPOSITIVO IMPLANTADO	DEFINIÇÃO DO DISPOSITIVO IMPLANTADO
«Acelerómetro»	Apenas acelerómetro
«Ventilação-minuto»	Apenas VM
«Acelerómetro + VM»	Acelerómetro e VM

Os valores acima apresentados só serão enviados se a frequência puder ser accionada pelo sensor (ou seja, não serão enviados se o sensor estiver num estado de monitorização exclusiva).

Os valores acima apresentados serão enviados se a frequência puder ser accionada no modo brady normal ou em ATR (ou seja, o valor não reflecte apenas o modo brady normal).

Importa notar que os relatórios podem apresentar «ATR Only» quando o modo ATR for um modo de resposta de frequência e o modo brady normal for um modo sem resposta de frequência. Nesse caso, o texto (por ex., «Acelerómetro») continuará a ser enviado para o modo ATR. O utilizador pode observar o modo brady e o modo ATR e determinar que a resposta de frequência é apenas para ATR.

Mapeamento de Episódios

Os episódios, contadores, etc., serão enviados em função das informações contidas na interrogação. As mesmas informações serão enviadas inicialmente e num reenvio subsequente mesmo que existam interrogações pelo meio. Importa notar que a produção do EMR nem sempre corresponderá àquilo que é apresentado no relatório Quick Notes, uma vez que o Quick Notes apresenta episódios, alertas e contadores desde a última reinicialização. Os episódios são representados por uma combinação de tipos normativos e específicos de fornecedores. Alguns tipos de episódios da Boston Scientific não podem ser representados exclusivamente na nomenclatura IDCO actual.

ID DE EPISÓDIO DA BSC	TIPO DE EPISÓDIO DA BSC	TIPO DE EPISÓDIO NORMATIVO DA IDCO	TIPO DE EPISÓDIO ESPECÍFICO DO FORNECEDOR DA IDCO
V-x	FV	VF	BSX-Zone_VF
V-x	VT	VT	BSX-Epis_VT
V-x	VT (V>A)	VT	BSX-Epis_VT
V-x	Taqui	Para dispositivos SSI, se o electrocateter estiver em: <ul style="list-style-type: none"> V – VT A – AT/AF Não especificado – VT 	Em branco
V-x	NonSust	Para dispositivos SSI, se o electrocateter estiver em: <ul style="list-style-type: none"> V – VT A – AT/AF Não especificado – VT 	para A, em branco caso contrário BSX-Epis_NSVT
V-x	TSV (V≤A)	TSV	BSX-Zone_SVT
V-x	VT-1	VT	BSX-Epis_VT-1
RMS-x	RMS	Outro	BSX-Epis_RMS
RYTHMIQ-x	RYTHMIQ	Outro	BSX-Epis_RMS
ATR-x	ATR	ATAF	BSX-Epis_ATR
TMP-x	TMP	Outro	BSX-Epis_PMT
SBR-x	SBR	Outro	Nenhum
PTM-x	PTM	Activado pelo Paciente	BSX-Epis_PTM
V-x	Cmd V	Outro	Nenhum
V-x	TVNS	VT	BSX-Epis_NSVT
APMRT-x	APM RT	EGM Periódico	BSX-Epis_APMRT
RVAT-x	VD Auto	Outro	Nenhum
RAAT-x	AD Auto	Outro	Nenhum
LVAT-x	VE Automático	Outro	Nenhum
MRI-x	MRI	Outro	Nenhum

Mapeamento de Contadores

Alguns contadores são somados antes do envio da mensagem. Isto deve-se ao facto de não ser actualmente possível representar todos os contadores da Boston Scientific na nomenclatura IDCO: Os valores dos contadores enviados serão os valores desde a última reinicialização.

CONTADOR DE EPISÓDIOS DA BSC	TIPO DE EPISÓDIO NORMATIVO DE ESTATÍSTICAS DA IDCO	TIPO DE EPISÓDIO ESPECÍFICO DO FORNECEDOR DE ESTATÍSTICAS DA IDCO
VT (V>A)	VT	BSX-Epis_VT
Taqui	VT	BSX-Epis_VT
NonSust	VT	BSX-Epis_NSVT
TVNS	VT	BSX-Epis_NSVT
TSV (V≤A)	TSV	BSX-Epis_SVT
ATR	AT/AF	BSX-Epis_ATR
MRI	Outro	Nenhum
FV	VF	BSX-Epis_VF
VT	VT	BSX-Epis_VT
VT-1	VT	BSX-Epis_VT-1
Cmd	Outro	Nenhum
Sem Terapêutica Programada	Monitor	Nenhum
Outros Episódios Não Tratados	Outro	Nenhum
RMS	Outro	BSX-Epis_RMS
RYTHMIQ	Outro	BSX-Epis_RMS
TMP	Outro	BSX-Epis_PMT
SBR	Outro	Nenhum
PTM	Activado pelo Paciente	BSX-Epis_PTM
APM RT	EGM Periódico	BSX-Epis_APMRT
AD Auto	Outro	Nenhum
VD Auto	Outro	Nenhum
VE Automático	Outro	Nenhum

Mapeamento da Configuração do Electrocateter

A tabela abaixo mostra como a IDCO e a BSC definem electrocateteres com vários eléctrodos. Esta tabela não pretende constituir uma lista exaustiva, incluindo apenas as enumerações que podem não ser óbvias.

As definições utilizadas pela BSC foram concebidas para serem consistentes com o Programador/Registador/Monitor (PRM) e o website LATITUDE.

NOME DOS ELÉCTRODOS DA BSC	LOCALIZAÇÃO DOS ELÉCTRODOS DA IDCO	NOME DOS ELÉCTRODOS DA IDCO
Can	Outra	Can
LVTip1	LV	Tip
LVRing2	LV	Ring1
LVRing3	LV	Ring2
LVRing4	LV	Ring3

MDC_IDC_ENUM_ELECTRODE_LOCATION (localização do cátodo/ânodo de detecção/estimulação) não inclui actualmente uma enumeração para a bolsa (ou seja, can). A localização será enviada como «outra» e o eléctrodo como «can».

O estado «check lead» (verificar electrocateter) indica um potencial problema do electrocateter; contudo, a ausência de um estado «check lead» não indica o bom funcionamento de um electrocateter. O estado «check lead» será enviado se estiver presente algum dos indicadores de estado que se seguem:

- Interruptor de segurança do electrocateter
- Impedância fora do intervalo
- Amplitude fora do intervalo
- Impedância de choque baixa
- Impedância de choque alta
- Alta tensão durante a carga

Para MSMT_LEADCHNL_[CHAMBER] (ou seja, medições do canal do electrocateter, como amplitude intrínseca, impedância do electrocateter, limiar de estimulação), só é possível um intervalo de carimbo de data/hora para todas as medições (ou seja, não é possível um intervalo por medição) na nomenclatura IDCO actual. Se os tempos de medição forem diferentes, será enviado um intervalo de carimbo de data/hora (ou seja, MIN, MAX) que inclua o tempo de todas as medições. Além disso, os valores que serão enviados serão valores IDCO MEAN de acordo com a nomenclatura IDCO. Contudo, os valores são medições únicas e não valores médios no intervalo de carimbo de data/hora.

Limitações do Sistema

- A produção específica de taqui e de câmara é o mais precisa possível. Contudo, em alguns casos, a importância de envio dos dados e o facto de a IDCO não poder representar determinados parâmetros garantem na mesma o envio dos dados. Por exemplo, as informações relativas à zona VT são enviadas como se os dispositivos de brady tivessem uma zona VT.
- Para os dispositivos que não têm o limiar automático de estimulação (função Limiar automático), será enviada a última medição de limiar realizada no consultório.
- O relato e as notificações de alertas correctos dos dados do dispositivo implantado pelo sistema LATITUDE NXT dependem da correcta programação do relógio do dispositivo implantado com um Programador/Registador/Monitor (PRM). O relato correcto pode continuar a ter repercussões durante algum tempo após a correcta programação do relógio do dispositivo implantado, de acordo com a quantidade de dados recebida com informações de tempo incorrectas e a diferença de tempo do erro do relógio do dispositivo implantado.
- As cadeias serão enviadas no idioma configurado para o centro no LATITUDE.

Definições de Alertas e Avisos

As mensagens de aviso e alerta são incluídas na mensagem como observações que podem ou não ser apresentadas num EMR. Um aviso ou alerta é incluído na mensagem se os dados que foram carregados a partir do PG tiverem accionado o aviso ou alerta.

Relatórios

Relatório EGM Apresentado

Se disponível na carga recebida do PG, o Relatório EGM Apresentado é anexado à mensagem em formato PDF e é associado ao episódio APMRT adequado utilizando o ID de grupo (OBX-4) para o episódio APMRT.

Relatório de Acompanhamento Combinado

Um Relatório de acompanhamento combinado é anexado à mensagem em formato PDF.

Outdated version. Do not use.
Version überholt. Nicht verwenden.
Version obsolète. Ne pas utiliser.
Versión obsoleta. No utilizar.
Versione obsoleta. Non utilizzare.
Verouderde versie. Niet gebruiken.
Föråldrad version. Använd ej.
Παλιά έκδοση. Μην την χρησιμοποιείτε.
Versão obsoleta. Não utilize.
Forældet version. Må ikke anvendes.
Zastaralá verzia. Nepoužívať.
Utdatert versjon. Skal ikke brukes.
Zastaraná verzia. Nepoužívať.
Elavult verzió. Ne használja!
Wersja nieaktualna. Nie używać.

Ficheiro IDCO de Exemplo

O seguinte ficheiro IDCO de exemplo mostra o aspecto que uma mensagem IDCO do LATITUDE pode ter. Este é apenas um exemplo entre muitos resultados possíveis. Os dados da mensagem de exemplo são hipotéticos e nem todos os termos IDCO do LATITUDE são representados.

```
MSH|^~\&|LATITUDE|BOSTON SCIENTIFIC||TestClinic|201305092136+0000||ORU^R01^ORU_R01
|0|P|2.6|||UNICODE UTF-8|pt^Portuguese||IHE_PCD_009^IHE_PCD
^1.3.6.1.4.1.19376.1.6.1.9.1^ISO
PID|1||model:N119/serial:900141^^^BSX^U||testLastName^testName^^^^^^I
-testAuxLName^testAuxFName^^^^^^P||19680215|U
PV1|1|R
PV2|||||||||||||||||||||TestDeviceGroup^^1
OBR|1||1000000916|754054^MDC_IDC_ENUM_SESS_TYPE_RemotePatientInitiated
^MDC|||201001151330-0500|||||||||||||||||F
NTE|1||02 Feb 2012 00:00 - Alerta Amarelo - Sobrecarga Arritmica Auricular de pelo
menos 3,0 num período de 24 horas.
NTE|2||02 Feb 2012 00:00 - Alerta Amarelo - Sobrecarga Arritmica Auricular de pelo
menos 3,0 horas num período de 24 horas entre 11 Jan 2010 23:00 e
12 Jan 2010 00:00.
NTE|3||02 Feb 2012 00:00 - Alerta Amarelo - Estimulação da terapêutica de
ressincronização cardíaca de < 1%. A estimulação foi 2% entre 11 Jan 2010 23:00 e
12 Jan 2010 00:00.
NTE|4||02 Feb 2012 00:00 - Alerta Amarelo - Estimulação ventricular direita de > 1%.
A estimulação foi 2% entre 11 Jan 2010 23:00 e 12 Jan 2010 00:00.
NTE|5||02 Feb 2012 00:00 - Alerta Amarelo - Evento iniciado pelo paciente guardado.
Reveja os pormenores do episódio em Registo de arritmias no separador Eventos.
NTE|6||02 Feb 2012 00:00 - Alerta Amarelo - Aumento de peso de pelo menos 2,27 kg numa
semana ou de pelo menos uma média de 0,91 kg ao longo do período de um ou mais dias.
NTE|7||02 Feb 2012 00:00 - Alerta Amarelo - Perda de peso de pelo menos 2,27 kg numa
semana ou de pelo menos uma média de 0,91 kg ao longo do período de um ou mais dias.
NTE|8||02 Feb 2012 00:00 - Alerta Amarelo - Indicador de explante atingido a
12 Jan 2010 00:00. Agendar substituição deste dispositivo.
NTE|9||02 Feb 2012 00:00 - Alerta Amarelo - A voltagem foi demasiado baixa para
a capacidade restante projectada.
NTE|10||02 Feb 2012 00:00 - Alerta Vermelho - Monitorização remota desactivada em
12 Jan 2010 00:00 devido a capacidade limitada da bateria (o indicador de explantação
foi alcançado em 12 Feb 2010 00:00).
NTE|11||02 Feb 2012 00:00 - Alerta Amarelo - Corrupção detectada no historial
de terapêutica. Os dados do historial de terapêutica anteriormente guardados
foram apagados.
NTE|12||02 Feb 2012 00:00 - Alerta Vermelho - Possível mau funcionamento do dispositivo
(código de falha 1011).
NTE|13||02 Feb 2012 00:00 - Alerta Vermelho - Possível avaria do dispositivo
(Código de Falha 1007).
NTE|14||02 Feb 2012 00:00 - Alerta Vermelho - Possível avaria do dispositivo
(Código de Falha 1009).
NTE|15||02 Feb 2012 00:00 - Alerta Vermelho - O dispositivo está em Modo Segurança.
Para protecção do paciente, o dispositivo foi comutado para o modo Segurança.
NTE|16||02 Feb 2012 00:00 - Alerta Amarelo - Limiar ventricular direito automático
detectado como > amplitude programada ou suspensa.
NTE|17||02 Feb 2012 00:00 - Alerta Amarelo - Limiar auricular automático detectado
como > amplitude programada ou suspensa.
NTE|18||02 Feb 2012 00:00 - Alerta Vermelho - Impedância do electrocateter de choque
fora de alcance.
NTE|19||02 Feb 2012 00:00 - Alerta Vermelho - Impedância do electrocateter de choque
baixa detectada ao tentar administrar um choque
NTE|20||02 Feb 2012 00:00 - Alerta Vermelho - Impedância do electrocateter de choque
alta ao tentar administrar um choque
NTE|21||02 Feb 2012 00:00 - Alerta Vermelho - Alta tensão detectada no electrocateter
de choque durante a carga
NTE|22||02 Feb 2012 00:00 - Alerta Vermelho - A protecção de electrocauterização
está activa.
NTE|23||02 Feb 2012 00:00 - Alerta Amarelo - Ocorreu um episódio (V>A).
```

NTE|24||02 Fev 2012 00:00 - Alerta Amarelo - O modo Bradi do dispositivo está em Off.
A terapêutica de bradicardia não será administrada.

NTE|25||02 Fev 2012 00:00 - Alerta Amarelo - Impedância do electrocatéter de estimulação ventricular esquerdo fora do intervalo.

NTE|26||02 Fev 2012 00:00 - Alerta Amarelo - Impedância do electrocatéter de estimulação auricular fora do intervalo.

NTE|27||02 Fev 2012 00:00 - Alerta Amarelo - Amplitude ventricular direita intrínseca fora do intervalo.

NTE|28||02 Fev 2012 00:00 - Alerta Amarelo - Amplitude intrínseca fora do intervalo.

NTE|29||02 Fev 2012 00:00 - Alerta Amarelo - Amplitude ventricular esquerda intrínseca fora do intervalo.

NTE|30||02 Fev 2012 00:00 - Alerta Amarelo - Amplitude auricular intrínseca fora do intervalo.

NTE|31||02 Fev 2012 00:00 - Alerta Vermelho - Impedância do electrocatéter de estimulação ventricular direito fora do intervalo.

NTE|32||02 Fev 2012 00:00 - Alerta Vermelho - Impedância do electrocatéter de estimulação fora do intervalo.

NTE|33||02 Fev 2012 00:00 - Alerta Amarelo - Terapêutica de choque ventricular administrada para converter a arritmia

NTE|34||02 Fev 2012 00:00 - Alerta Amarelo - Episódio de arritmia ventricular acelerada.

NTE|35||02 Fev 2012 00:00 - Alerta Vermelho - Modo de Taquicardia V configurado para outro valor diferente de Monitor + Terapêutica

NTE|36||02 Fev 2012 00:00 - Alerta Vermelho - Notificação de verificação do electrocateter devido a mudança repentina na impedância do electrocateter de estimulação do ventrículo direito nos últimos 7 dias.

NTE|37||02 Fev 2012 00:00 - Alerta Vermelho - Notificação de verificação do electrocateter devido a episódio com potencial sinal não-fisiológico no ventrículo direito.

NTE|38||02 Fev 2012 00:00 - Alerta Amarelo - Limiar automático do ventrículo esquerdo detectado como > à amplitude programada ou suspenso.

OBX|1|ST|739536^MDC_IDC_EPISODE_ID^MDC|1|MRI-16|||||F

OBX|2|DTM|739552^MDC_IDC_EPISODE_DTM^MDC|1|200101020304|||||F

OBX|3|CWE|739568^MDC_IDC_EPISODE_TYPE^MDC|1|754888
^MDC_IDC_ENUM_EPISODE_TYPE_Epis_Other^MDC|||||F

OBX|4|CWE|739600^MDC_IDC_EPISODE_VENDOR_TYPE^MDC|1|||||F

OBX|5|NM|739712^MDC_IDC_EPISODE_DURATION^MDC|1|100|s|||||F

OBX|6|ST|739680^MDC_IDC_EPISODE_DETECTION_THERAPY_DETAILS
^MDC|1|Modo de Protecção MRI|||||F

OBX|7|ST|739536^MDC_IDC_EPISODE_ID^MDC|2|LVAT-15|||||F

OBX|8|DTM|739552^MDC_IDC_EPISODE_DTM^MDC|2|200101020304|||||F

OBX|9|CWE|739568^MDC_IDC_EPISODE_TYPE^MDC|2|754888
^MDC_IDC_ENUM_EPISODE_TYPE_Epis_Other^MDC|||||F

OBX|10|CWE|739600^MDC_IDC_EPISODE_VENDOR_TYPE^MDC|2|||||F

OBX|11|NM|739712^MDC_IDC_EPISODE_DURATION^MDC|2|100|s|||||F

OBX|12|ST|739680^MDC_IDC_EPISODE_DETECTION_THERAPY_DETAILS^MDC|2|VE Automático|||||F

OBX|13|ST|739536^MDC_IDC_EPISODE_ID^MDC|3|RVAT-14|||||F

OBX|14|DTM|739552^MDC_IDC_EPISODE_DTM^MDC|3|200101020304|||||F

OBX|15|CWE|739568^MDC_IDC_EPISODE_TYPE^MDC|3|754888
^MDC_IDC_ENUM_EPISODE_TYPE_Epis_Other^MDC|||||F

OBX|16|CWE|739600^MDC_IDC_EPISODE_VENDOR_TYPE^MDC|3|||||F

OBX|17|NM|739712^MDC_IDC_EPISODE_DURATION^MDC|3|100|s|||||F

OBX|18|ST|739680^MDC_IDC_EPISODE_DETECTION_THERAPY_DETAILS^MDC|3|VD Auto|||||F

OBX|19|ST|739536^MDC_IDC_EPISODE_ID^MDC|4|APM-13|||||F

OBX|20|DTM|739552^MDC_IDC_EPISODE_DTM^MDC|4|200101020304|||||F

OBX|21|CWE|739568^MDC_IDC_EPISODE_TYPE^MDC|4|754886
^MDC_IDC_ENUM_EPISODE_TYPE_Epis_PeriodicEGM^MDC|||||F

OBX|22|CWE|739600^MDC_IDC_EPISODE_VENDOR_TYPE^MDC|4|771085
^MDC_IDC_ENUM_EPISODE_VENDOR_TYPE_BSX-Epis_APMRT^MDC|||||F

OBX|23|ST|739680^MDC_IDC_EPISODE_DETECTION_THERAPY_DETAILS^MDC|4|EGM Apresentado|||||F

OBX|24|ST|739536^MDC_IDC_EPISODE_ID^MDC|5|PTM-12|||||F

OBX|25|DTM|739552^MDC_IDC_EPISODE_DTM^MDC|5|200101020304|||||F

OBX|26|CWE|739568^MDC_IDC_EPISODE_TYPE^MDC|5|754887
^MDC_IDC_ENUM_EPISODE_TYPE_Epis_PatientActivated^MDC|||||F

OBX|27|CWE|739600^MDC_IDC_EPISODE_VENDOR_TYPE^MDC|5|771080
^MDC_IDC_ENUM_EPISODE_VENDOR_TYPE_BSX-Epis_PTM^MDC|||||F

OBX|28|NM|739648^MDC_IDC_EPISODE_VENTRICULAR_INTERVAL_AT_DETECTION
 ^MDC|5|30000|ms||||F
 OBX|29|NM|739712^MDC_IDC_EPISODE_DURATION^MDC|5|100|s||||F
 OBX|30|ST|739680^MDC_IDC_EPISODE_DETECTION_THERAPY_DETAILS^MDC|5|PTM|||||F
 OBX|31|ST|739536^MDC_IDC_EPISODE_ID^MDC|6|RAAT-11|||||F
 OBX|32|DTM|739552^MDC_IDC_EPISODE_DTM^MDC|6|200101020304|||||F
 OBX|33|CWE|739568^MDC_IDC_EPISODE_TYPE^MDC|6|754888
 ^MDC_IDC_ENUM_EPISODE_TYPE_Epis_Other^MDC||||F
 OBX|34|CWE|739600^MDC_IDC_EPISODE_VENDOR_TYPE^MDC|6|||||F
 OBX|35|NM|739712^MDC_IDC_EPISODE_DURATION^MDC|6|100|s||||F
 OBX|36|ST|739680^MDC_IDC_EPISODE_DETECTION_THERAPY_DETAILS^MDC|6|AD Auto|||||F
 OBX|37|ST|739536^MDC_IDC_EPISODE_ID^MDC|7|RYTHMIQ-10|||||F
 OBX|38|DTM|739552^MDC_IDC_EPISODE_DTM^MDC|7|200101020304|||||F
 OBX|39|CWE|739568^MDC_IDC_EPISODE_TYPE^MDC|7|754888
 ^MDC_IDC_ENUM_EPISODE_TYPE_Epis_Other^MDC||||F
 OBX|40|CWE|739600^MDC_IDC_EPISODE_VENDOR_TYPE^MDC|7|771084
 ^MDC_IDC_ENUM_EPISODE_VENDOR_TYPE_BSX-Epis_RMS^MDC||||F
 OBX|41|NM|739648
 ^MDC_IDC_EPISODE_VENTRICULAR_INTERVAL_AT_DETECTION^MDC|7|30000|ms||||F
 OBX|42|NM|739712^MDC_IDC_EPISODE_DURATION^MDC|7|100|s||||F
 OBX|43|ST|739680^MDC_IDC_EPISODE_DETECTION_THERAPY_DETAILS^MDC|7|RYTHMIQ|||||F
 OBX|44|ST|739536^MDC_IDC_EPISODE_ID^MDC|8|RMS-9|||||F
 OBX|45|DTM|739552^MDC_IDC_EPISODE_DTM^MDC|8|200101020304|||||F
 OBX|46|CWE|739568^MDC_IDC_EPISODE_TYPE^MDC|8|754888
 ^MDC_IDC_ENUM_EPISODE_TYPE_Epis_Other^MDC||||F
 OBX|47|CWE|739600^MDC_IDC_EPISODE_VENDOR_TYPE^MDC|8|771084
 ^MDC_IDC_ENUM_EPISODE_VENDOR_TYPE_BSX-Epis_RMS^MDC||||F
 OBX|48|NM|739648
 ^MDC_IDC_EPISODE_VENTRICULAR_INTERVAL_AT_DETECTION^MDC|8|30000|ms||||F
 OBX|49|NM|739712^MDC_IDC_EPISODE_DURATION^MDC|8|100|s||||F
 OBX|50|ST|739680^MDC_IDC_EPISODE_DETECTION_THERAPY_DETAILS^MDC|8|RMS|||||F
 OBX|51|ST|739536^MDC_IDC_EPISODE_ID^MDC|9|V-8|||||F
 OBX|52|DTM|739552^MDC_IDC_EPISODE_DTM^MDC|9|200101020304|||||F
 OBX|53|CWE|739568^MDC_IDC_EPISODE_TYPE^MDC|9|754881
 ^MDC_IDC_ENUM_EPISODE_TYPE_Epis_VF^MDC||||F
 OBX|54|CWE|739600^MDC_IDC_EPISODE_VENDOR_TYPE^MDC|9|771073
 ^MDC_IDC_ENUM_EPISODE_VENDOR_TYPE_BSX-Epis_VF^MDC||||F
 OBX|55|CWE|739584^MDC_IDC_EPISODE_TYPE_INDUCED^MDC|9|755329
 ^MDC_IDC_ENUM_EPISODE_TYPE_INDUCED_YES^MDC||||F
 OBX|56|NM|739648
 ^MDC_IDC_EPISODE_VENTRICULAR_INTERVAL_AT_DETECTION^MDC|9|30000|ms||||F
 OBX|57|NM|739712^MDC_IDC_EPISODE_DURATION^MDC|9|100|s||||F
 OBX|58|ST|739680
 ^MDC_IDC_EPISODE_DETECTION_THERAPY_DETAILS^MDC|9|FV ATPx1, 0,1J, 0,2J, 31Jx2|||||F
 OBX|59|ST|739536^MDC_IDC_EPISODE_ID^MDC|10|TMP-7|||||F
 OBX|60|DTM|739552^MDC_IDC_EPISODE_DTM^MDC|10|200101020304|||||F
 OBX|61|CWE|739568^MDC_IDC_EPISODE_TYPE^MDC|10|754888
 ^MDC_IDC_ENUM_EPISODE_TYPE_Epis_Other^MDC||||F
 OBX|62|CWE|739600^MDC_IDC_EPISODE_VENDOR_TYPE^MDC|10|771079
 ^MDC_IDC_ENUM_EPISODE_VENDOR_TYPE_BSX-Epis_PMT^MDC||||F
 OBX|63|NM|739648^MDC_IDC_EPISODE_VENTRICULAR_INTERVAL_AT_DETECTION
 ^MDC|10|30000|ms||||F
 OBX|64|NM|739712^MDC_IDC_EPISODE_DURATION^MDC|10|100|s||||F
 OBX|65|ST|739680^MDC_IDC_EPISODE_DETECTION_THERAPY_DETAILS^MDC|10|TMP|||||F
 OBX|66|ST|739536^MDC_IDC_EPISODE_ID^MDC|11|V-6|||||F
 OBX|67|DTM|739552^MDC_IDC_EPISODE_DTM^MDC|11|200101020304|||||F
 OBX|68|CWE|739568^MDC_IDC_EPISODE_TYPE^MDC|11|754882
 ^MDC_IDC_ENUM_EPISODE_TYPE_Epis_VT^MDC||||F
 OBX|69|CWE|739600^MDC_IDC_EPISODE_VENDOR_TYPE^MDC|11|771075
 ^MDC_IDC_ENUM_EPISODE_VENDOR_TYPE_BSX-Epis_VT-1^MDC||||F
 OBX|70|CWE|739584^MDC_IDC_EPISODE_TYPE_INDUCED^MDC|11|755329
 ^MDC_IDC_ENUM_EPISODE_TYPE_INDUCED_YES^MDC||||F
 OBX|71|NM|739648^MDC_IDC_EPISODE_VENTRICULAR_INTERVAL_AT_DETECTION
 ^MDC|11|30000|ms||||F
 OBX|72|NM|739712^MDC_IDC_EPISODE_DURATION^MDC|11|100|s||||F

OBX|73|ST|739680^MDC_IDC_EPISODE_DETECTION_THERAPY_DETAILS
 ^MDC|11|VT-1 ATPx1, 0,1J, 0,2J, 31Jx2|||||F
 OBX|74|ST|739536^MDC_IDC_EPISODE_ID^MDC|12|ATR-5|||||F
 OBX|75|DTM|739552^MDC_IDC_EPISODE_DTM^MDC|12|200101020304|||||F
 OBX|76|CWE|739568^MDC_IDC_EPISODE_TYPE^MDC|12|754883
 ^MDC_IDC_ENUM_EPISODE_TYPE_Epis_ATAF^MDC|||||F
 OBX|77|CWE|739600^MDC_IDC_EPISODE_VENDOR_TYPE^MDC|12|771078
 ^MDC_IDC_ENUM_EPISODE_VENDOR_TYPE_BSX-Epis_ATR^MDC|||||F
 OBX|78|NM|739616^MDC_IDC_EPISODE_ATRIAL_INTERVAL_AT_DETECTION^MDC|12|2000|ms|||||F
 OBX|79|NM|739712^MDC_IDC_EPISODE_DURATION^MDC|12|100|s|||||F
 OBX|80|ST|739680^MDC_IDC_EPISODE_DETECTION_THERAPY_DETAILS^MDC|12|ATR|||||F
 OBX|81|ST|739536^MDC_IDC_EPISODE_ID^MDC|13|V-4|||||F
 OBX|82|DTM|739552^MDC_IDC_EPISODE_DTM^MDC|13|200101020304|||||F
 OBX|83|CWE|739568^MDC_IDC_EPISODE_TYPE^MDC|13|754882
 ^MDC_IDC_ENUM_EPISODE_TYPE_Epis_VT^MDC|||||F
 OBX|84|CWE|739600^MDC_IDC_EPISODE_VENDOR_TYPE^MDC|13|771077
 ^MDC_IDC_ENUM_EPISODE_VENDOR_TYPE_BSX-Epis_NSVT^MDC|||||F
 OBX|85|CWE|739584^MDC_IDC_EPISODE_TYPE_INDUCED^MDC|13|755329
 ^MDC_IDC_ENUM_EPISODE_TYPE_INDUCED_YES^MDC|||||F
 OBX|86|NM|739648^MDC_IDC_EPISODE_VENTRICULAR_INTERVAL_AT_DETECTION
 ^MDC|13|30000|ms|||||F
 OBX|87|NM|739712^MDC_IDC_EPISODE_DURATION^MDC|13|100|s|||||F
 OBX|88|ST|739680^MDC_IDC_EPISODE_DETECTION_THERAPY_DETAILS^MDC|13|TVNS|||||F
 OBX|89|ST|739536^MDC_IDC_EPISODE_ID^MDC|14|V-3|||||F
 OBX|90|DTM|739552^MDC_IDC_EPISODE_DTM^MDC|14|200101020304|||||F
 OBX|91|CWE|739568^MDC_IDC_EPISODE_TYPE^MDC|14|754882
 ^MDC_IDC_ENUM_EPISODE_TYPE_Epis_VT^MDC|||||F
 OBX|92|CWE|739600^MDC_IDC_EPISODE_VENDOR_TYPE^MDC|14|771074
 ^MDC_IDC_ENUM_EPISODE_VENDOR_TYPE_BSX-Epis_VT^MDC|||||F
 OBX|93|CWE|739584^MDC_IDC_EPISODE_TYPE_INDUCED^MDC|14|755329
 ^MDC_IDC_ENUM_EPISODE_TYPE_INDUCED_YES^MDC|||||F
 OBX|94|NM|739648^MDC_IDC_EPISODE_VENTRICULAR_INTERVAL_AT_DETECTION
 ^MDC|14|30000|ms|||||F
 OBX|95|NM|739712^MDC_IDC_EPISODE_DURATION^MDC|14|100|s|||||F
 OBX|96|ST|739680^MDC_IDC_EPISODE_DETECTION_THERAPY_DETAILS
 ^MDC|14|VT ATPx1, 0,1J, 0,2J, 31Jx2|||||F
 OBX|97|ST|739536^MDC_IDC_EPISODE_ID^MDC|15|SBR-2|||||F
 OBX|98|DTM|739552^MDC_IDC_EPISODE_DTM^MDC|15|200101020304|||||F
 OBX|99|CWE|739568^MDC_IDC_EPISODE_TYPE^MDC|15|754888
 ^MDC_IDC_ENUM_EPISODE_TYPE_Epis_Other^MDC|||||F
 OBX|100|CWE|739600^MDC_IDC_EPISODE_VENDOR_TYPE^MDC|15|||||F
 OBX|101|NM|739616^MDC_IDC_EPISODE_ATRIAL_INTERVAL_AT_DETECTION^MDC|15|2000|ms|||||F
 OBX|102|NM|739712^MDC_IDC_EPISODE_DURATION^MDC|15|100|s|||||F
 OBX|103|ST|739680^MDC_IDC_EPISODE_DETECTION_THERAPY_DETAILS^MDC|15|SBR|||||F
 OBX|104|ST|739536^MDC_IDC_EPISODE_ID^MDC|16|V-1|||||F
 OBX|105|DTM|739552^MDC_IDC_EPISODE_DTM^MDC|16|200101020304|||||F
 OBX|106|CWE|739568^MDC_IDC_EPISODE_TYPE^MDC|16|754888
 ^MDC_IDC_ENUM_EPISODE_TYPE_Epis_Other^MDC|||||F
 OBX|107|CWE|739600^MDC_IDC_EPISODE_VENDOR_TYPE^MDC|16|||||F
 OBX|108|CWE|739584^MDC_IDC_EPISODE_TYPE_INDUCED^MDC|16|755329
 ^MDC_IDC_ENUM_EPISODE_TYPE_INDUCED_YES^MDC|||||F
 OBX|109|NM|739648^MDC_IDC_EPISODE_VENTRICULAR_INTERVAL_AT_DETECTION
 ^MDC|16|30000|ms|||||F
 OBX|110|NM|739712^MDC_IDC_EPISODE_DURATION^MDC|16|100|s|||||F
 OBX|111|ST|739680^MDC_IDC_EPISODE_DETECTION_THERAPY_DETAILS
 ^MDC|16|Cmd V Terapêutica Administrada|||||F
 OBX|112|ED|18750-0^Cardiac Electrophysiology Report^LN||Application^PDF^
 ^Base64^{encoded PDF included here}|||||F|||201001151330-0500
 OBX|113|ED|18750-0^Cardiac Electrophysiology Report^LN|4|Application^PDF^
 ^Base64^{encoded PDF included here}|||||F|||201001151330-0500
 OBX|114|CWE|720897^MDC_IDC_DEV_TYPE^MDC||753665^MDC_IDC_ENUM_DEV_TYPE_IPG^MDC|||||F
 OBX|115|ST|720898^MDC_IDC_DEV_MODEL^MDC||N119|||||F
 OBX|116|ST|720899^MDC_IDC_DEV_SERIAL^MDC||900141|||||F
 OBX|117|CWE|720900^MDC_IDC_DEV_MFG^MDC||753732^MDC_IDC_ENUM_MFG_BSX^MDC|||||F
 OBX|118|DTM|720901^MDC_IDC_DEV_IMPLANT_DT^MDC||20120513|||||F

OBX|119|ST|720961^MDC_IDC_LEAD_MODEL^MDC|1|12345|||||F
 OBX|120|ST|720962^MDC_IDC_LEAD_SERIAL^MDC|1|6789|||||F
 OBX|121|CWE|720963^MDC_IDC_LEAD_MFG^MDC|1|753731^MDC_IDC_ENUM_MFG_BIO^MDC|||||F
 OBX|122|CWE|720965^MDC_IDC_LEAD_POLARITY_TYPE^MDC|1|753793
 ^MDC_IDC_ENUM_LEAD_POLARITY_TYPE_UNI^MDC|||||F
 OBX|123|DTM|720964^MDC_IDC_LEAD_IMPLANT_DT^MDC|1|201205|||||F
 OBX|124|CWE|720966^MDC_IDC_LEAD_LOCATION^MDC|1|753858
 ^MDC_IDC_ENUM_LEAD_LOCATION_CHAMBER_LV^MDC|||||F
 OBX|125|CWE|720967^MDC_IDC_LEAD_LOCATION_DETAIL_1^MDC|1|753922
 ^MDC_IDC_ENUM_LEAD_LOCATION_DETAIL_Apex^MDC|||||F
 OBX|126|CWE|720968^MDC_IDC_LEAD_LOCATION_DETAIL_2^MDC|1|753925
 ^MDC_IDC_ENUM_LEAD_LOCATION_DETAIL_VenaCava^MDC|||||F
 OBX|127|ST|720961^MDC_IDC_LEAD_MODEL^MDC|2|12345|||||F
 OBX|128|ST|720962^MDC_IDC_LEAD_SERIAL^MDC|2|6789|||||F
 OBX|129|CWE|720963^MDC_IDC_LEAD_MFG^MDC|2|753731^MDC_IDC_ENUM_MFG_BIO^MDC|||||F
 OBX|130|CWE|720965^MDC_IDC_LEAD_POLARITY_TYPE^MDC|2|753793
 ^MDC_IDC_ENUM_LEAD_POLARITY_TYPE_UNI^MDC|||||F
 OBX|131|DTM|720964^MDC_IDC_LEAD_IMPLANT_DT^MDC|2|201205|||||F
 OBX|132|CWE|720966^MDC_IDC_LEAD_LOCATION^MDC|2|753858
 ^MDC_IDC_ENUM_LEAD_LOCATION_CHAMBER_LV^MDC|||||F
 OBX|133|CWE|720967^MDC_IDC_LEAD_LOCATION_DETAIL_1^MDC|2|753922
 ^MDC_IDC_ENUM_LEAD_LOCATION_DETAIL_Apex^MDC|||||F
 OBX|134|CWE|720968^MDC_IDC_LEAD_LOCATION_DETAIL_2^MDC|2|753925
 ^MDC_IDC_ENUM_LEAD_LOCATION_DETAIL_VenaCava^MDC|||||F
 OBX|135|ST|720961^MDC_IDC_LEAD_MODEL^MDC|3|12345|||||F
 OBX|136|ST|720962^MDC_IDC_LEAD_SERIAL^MDC|3|6789|||||F
 OBX|137|CWE|720963^MDC_IDC_LEAD_MFG^MDC|3|753731
 ^MDC_IDC_ENUM_MFG_BIO^MDC|||||F
 OBX|138|CWE|720965^MDC_IDC_LEAD_POLARITY_TYPE^MDC|3|753793
 ^MDC_IDC_ENUM_LEAD_POLARITY_TYPE_UNI^MDC|||||F
 OBX|139|DTM|720964^MDC_IDC_LEAD_IMPLANT_DT^MDC|3|201205|||||F
 OBX|140|CWE|720966^MDC_IDC_LEAD_LOCATION^MDC|3|753858
 ^MDC_IDC_ENUM_LEAD_LOCATION_CHAMBER_LV^MDC|||||F
 OBX|141|CWE|720967^MDC_IDC_LEAD_LOCATION_DETAIL_1^MDC|3|753922
 ^MDC_IDC_ENUM_LEAD_LOCATION_DETAIL_Apex^MDC|||||F
 OBX|142|CWE|720968^MDC_IDC_LEAD_LOCATION_DETAIL_2^MDC|3|753925
 ^MDC_IDC_ENUM_LEAD_LOCATION_DETAIL_VenaCava^MDC|||||F
 OBX|143|ST|720961^MDC_IDC_LEAD_MODEL^MDC|4|12345|||||F
 OBX|144|ST|720962^MDC_IDC_LEAD_SERIAL^MDC|4|6789|||||F
 OBX|145|CWE|720963^MDC_IDC_LEAD_MFG^MDC|4|753731^MDC_IDC_ENUM_MFG_BIO^MDC|||||F
 OBX|146|CWE|720965^MDC_IDC_LEAD_POLARITY_TYPE^MDC|4|753793
 ^MDC_IDC_ENUM_LEAD_POLARITY_TYPE_UNI^MDC|||||F
 OBX|147|DTM|720964^MDC_IDC_LEAD_IMPLANT_DT^MDC|4|201205|||||F
 OBX|148|CWE|720966^MDC_IDC_LEAD_LOCATION^MDC|4|753858
 ^MDC_IDC_ENUM_LEAD_LOCATION_CHAMBER_LV^MDC|||||F
 OBX|149|CWE|720967^MDC_IDC_LEAD_LOCATION_DETAIL_1^MDC|4|753922
 ^MDC_IDC_ENUM_LEAD_LOCATION_DETAIL_Apex^MDC|||||F
 OBX|150|CWE|720968^MDC_IDC_LEAD_LOCATION_DETAIL_2^MDC|4|753925
 ^MDC_IDC_ENUM_LEAD_LOCATION_DETAIL_VenaCava^MDC|||||F
 OBX|151|ST|720961^MDC_IDC_LEAD_MODEL^MDC|5|12345|||||F
 OBX|152|ST|720962^MDC_IDC_LEAD_SERIAL^MDC|5|6789|||||F
 OBX|153|CWE|720963^MDC_IDC_LEAD_MFG^MDC|5|753731^MDC_IDC_ENUM_MFG_BIO^MDC|||||F
 OBX|154|CWE|720965^MDC_IDC_LEAD_POLARITY_TYPE^MDC|5|753793
 ^MDC_IDC_ENUM_LEAD_POLARITY_TYPE_UNI^MDC|||||F
 OBX|155|DTM|720964^MDC_IDC_LEAD_IMPLANT_DT^MDC|5|201205|||||F
 OBX|156|CWE|720966^MDC_IDC_LEAD_LOCATION^MDC|5|753858
 ^MDC_IDC_ENUM_LEAD_LOCATION_CHAMBER_LV^MDC|||||F
 OBX|157|CWE|720967^MDC_IDC_LEAD_LOCATION_DETAIL_1^MDC|5|753922
 ^MDC_IDC_ENUM_LEAD_LOCATION_DETAIL_Apex^MDC|||||F
 OBX|158|CWE|720968^MDC_IDC_LEAD_LOCATION_DETAIL_2^MDC|5|753925
 ^MDC_IDC_ENUM_LEAD_LOCATION_DETAIL_VenaCava^MDC|||||F
 OBX|159|ST|720961^MDC_IDC_LEAD_MODEL^MDC|6|12345|||||F
 OBX|160|ST|720962^MDC_IDC_LEAD_SERIAL^MDC|6|6789|||||F
 OBX|161|CWE|720963^MDC_IDC_LEAD_MFG^MDC|6|753731^MDC_IDC_ENUM_MFG_BIO^MDC|||||F

OBX|162|CWE|720965^MDC_IDC_LEAD_POLARITY_TYPE^MDC|6|753793
 ^MDC_IDC_ENUM_LEAD_POLARITY_TYPE_UNI^MDC|||||F
 OBX|163|DTM|720964^MDC_IDC_LEAD_IMPLANT_DT^MDC|6|201205|||||F
 OBX|164|CWE|720966^MDC_IDC_LEAD_LOCATION^MDC|6|753858
 ^MDC_IDC_ENUM_LEAD_LOCATION_CHAMBER_LV^MDC|||||F
 OBX|165|CWE|720967^MDC_IDC_LEAD_LOCATION_DETAIL_1^MDC|6|753922
 ^MDC_IDC_ENUM_LEAD_LOCATION_DETAIL_Apex^MDC|||||F
 OBX|166|CWE|720968^MDC_IDC_LEAD_LOCATION_DETAIL_2^MDC|6|753925
 ^MDC_IDC_ENUM_LEAD_LOCATION_DETAIL_VenaCava^MDC|||||F
 OBX|167|DTM|721025^MDC_IDC_SESS_DTM^MDC||201001021310-0600|||||F
 OBX|168|CWE|721026^MDC_IDC_SESS_TYPE^MDC||754052
 ^MDC_IDC_ENUM_SESS_TYPE_RemoteDeviceInitiated^MDC|||||F
 OBX|169|ST|721033^MDC_IDC_SESS_CLINIC_NAME
 ^MDC|abcdefghijklmnopqrstuvwxyzabcdefghijklmnopqrstuvw|||F
 OBX|170|DTM|721216^MDC_IDC_MSMT_BATTERY_DTM^MDC||201205221755+0000|||||F
 OBX|171|CWE|721280^MDC_IDC_MSMT_BATTERY_STATUS^MDC||754113
 ^MDC_IDC_ENUM_BATTERY_STATUS_BOS^MDC|||||F
 OBX|172|NM|721472^MDC_IDC_MSMT_BATTERY_REMAINING_LONGEVITY^MDC||132|mo||>|||F
 OBX|173|NM|721536^MDC_IDC_MSMT_BATTERY_REMAINING_PERCENTAGE^MDC||100|%|||F
 OBX|174|DTM|721664^MDC_IDC_MSMT_CAP_CHARGE_DTM^MDC||201205221755|||||F
 OBX|175|NM|721728^MDC_IDC_MSMT_CAP_CHARGE_TIME^MDC||3.0|s|||F
 OBX|176|CWE|721856^MDC_IDC_MSMT_CAP_CHARGE_TYPE^MDC||754178
 ^MDC_IDC_ENUM_CHARGE_TYPE_Reformation^MDC|||||F
 OBX|177|DTM|721921^MDC_IDC_MSMT_LEADCHNL_RA_DTM_START^MDC||20121211|||||F
 OBX|178|DTM|721922^MDC_IDC_MSMT_LEADCHNL_RA_DTM_END^MDC||20121211|||||F
 OBX|179|CWE|721984^MDC_IDC_MSMT_LEADCHNL_RA_LEAD_CHANNEL_STATUS^MDC||754241
 ^MDC_IDC_ENUM_CHANNEL_STATUS_CheckLead^MDC|||||F
 OBX|180|NM|722051
 ^MDC_IDC_MSMT_LEADCHNL_RA_SENSING_INTR_AMPL_MEAN^MDC||mV||NAV|||F||20121211
 OBX|181|DTM|721925^MDC_IDC_MSMT_LEADCHNL_RV_DTM_START^MDC||19990102|||||F
 OBX|182|DTM|721926^MDC_IDC_MSMT_LEADCHNL_RV_DTM_END^MDC||20121211|||||F
 OBX|183|CWE|721985^MDC_IDC_MSMT_LEADCHNL_RV_LEAD_CHANNEL_STATUS^MDC||754241
 ^MDC_IDC_ENUM_CHANNEL_STATUS_CheckLead^MDC|||||F
 OBX|184|NM|722055
 ^MDC_IDC_MSMT_LEADCHNL_RV_SENSING_INTR_AMPL_MEAN^MDC||0.1|mV||<|||F||20121211
 OBX|185|DTM|721933^MDC_IDC_MSMT_LEADCHNL_LV_DTM_START^MDC||19990102|||||F
 OBX|186|DTM|721934^MDC_IDC_MSMT_LEADCHNL_LV_DTM_END^MDC||20121211|||||F
 OBX|187|CWE|721987^MDC_IDC_MSMT_LEADCHNL_LV_LEAD_CHANNEL_STATUS^MDC||754241
 ^MDC_IDC_ENUM_CHANNEL_STATUS_CheckLead^MDC|||||F
 OBX|188|NM|722063^MDC_IDC_MSMT_LEADCHNL_LV_SENSING_INTR_AMPL_MEAN
 ^MDC||25.0|mV||>|||F||20121211
 OBX|189|CWE|722112^MDC_IDC_MSMT_LEADCHNL_RA_SENSING_POLARITY^MDC||754305
 ^MDC_IDC_ENUM_POLARITY_UNI^MDC|||||F
 OBX|190|CWE|722113^MDC_IDC_MSMT_LEADCHNL_RV_SENSING_POLARITY^MDC||754306
 ^MDC_IDC_ENUM_POLARITY_BI^MDC|||||F
 OBX|191|CWE|722115^MDC_IDC_MSMT_LEADCHNL_LV_SENSING_POLARITY^MDC|||OFF|||F
 OBX|192|NM|722176^MDC_IDC_MSMT_LEADCHNL_RA_PACING_THRESHOLD_AMPLITUDE
 ^MDC||V||NAV|||F||20121211
 OBX|193|NM|722177^MDC_IDC_MSMT_LEADCHNL_RV_PACING_THRESHOLD_AMPLITUDE
 ^MDC||3.0|V||>|||F||20121211
 OBX|194|NM|722179^MDC_IDC_MSMT_LEADCHNL_LV_PACING_THRESHOLD_AMPLITUDE
 ^MDC||0.0|V|||F||20121210
 OBX|195|NM|722240^MDC_IDC_MSMT_LEADCHNL_RA_PACING_THRESHOLD_PULSEWIDTH
 ^MDC||ms||NAV|||F||19990102
 OBX|196|NM|722241^MDC_IDC_MSMT_LEADCHNL_RV_PACING_THRESHOLD_PULSEWIDTH
 ^MDC||0.4|ms|||F||19990102
 OBX|197|NM|722243^MDC_IDC_MSMT_LEADCHNL_LV_PACING_THRESHOLD_PULSEWIDTH
 ^MDC||0.4|ms|||F||19990102
 OBX|198|CWE|722304^MDC_IDC_MSMT_LEADCHNL_RA_PACING_THRESHOLD_MEASUREMENT_METHOD
 ^MDC||754369^MDC_IDC_ENUM_MEASUREMENT_METHOD_ProgrammerManual^MDC|||||F
 OBX|199|CWE|722305^MDC_IDC_MSMT_LEADCHNL_RV_PACING_THRESHOLD_MEASUREMENT_METHOD
 ^MDC||754369^MDC_IDC_ENUM_MEASUREMENT_METHOD_ProgrammerManual^MDC|||||F
 OBX|200|CWE|722307^MDC_IDC_MSMT_LEADCHNL_LV_PACING_THRESHOLD_MEASUREMENT_METHOD
 ^MDC||754369^MDC_IDC_ENUM_MEASUREMENT_METHOD_ProgrammerManual^MDC|||||F

OBX|201|CWE|722368^MDC_IDC_MSMT_LEADCHNL_RA_PACING_THRESHOLD_POLARITY^MDC||754305
^MDC_IDC_ENUM_POLARITY_UNI^MDC|||||F

OBX|202|CWE|722369^MDC_IDC_MSMT_LEADCHNL_RV_PACING_THRESHOLD_POLARITY^MDC||754306
^MDC_IDC_ENUM_POLARITY_BI^MDC|||||F

OBX|203|CWE|722371^MDC_IDC_MSMT_LEADCHNL_LV_PACING_THRESHOLD_POLARITY^MDC||754306
^MDC_IDC_ENUM_POLARITY_BI^MDC|||||F

OBX|204|NM|722432^MDC_IDC_MSMT_LEADCHNL_RA_IMPEDANCE_VALUE
^MDC||200|ohms||<||F|||20121211

OBX|205|NM|722433^MDC_IDC_MSMT_LEADCHNL_RV_IMPEDANCE_VALUE
^MDC||2000|ohms||>||F|||20121211

OBX|206|NM|722435^MDC_IDC_MSMT_LEADCHNL_LV_IMPEDANCE_VALUE
^MDC||201|ohms|||||F|||20121209

OBX|207|CWE|722496^MDC_IDC_MSMT_LEADCHNL_RA_IMPEDANCE_POLARITY
^MDC||754305^MDC_IDC_ENUM_POLARITY_UNI^MDC|||||F

OBX|208|CWE|722497^MDC_IDC_MSMT_LEADCHNL_RV_IMPEDANCE_POLARITY
^MDC||754305^MDC_IDC_ENUM_POLARITY_UNI^MDC|||||F

OBX|209|CWE|722499^MDC_IDC_MSMT_LEADCHNL_LV_IMPEDANCE_POLARITY
^MDC||754306^MDC_IDC_ENUM_POLARITY_BI^MDC|||||F

OBX|210|DTM|722560^MDC_IDC_MSMT_LEADHVCHNL_DTM_START^MDC|1|20121109|||||F

OBX|211|NM|722624^MDC_IDC_MSMT_LEADHVCHNL_IMPEDANCE^MDC|1|ohms||NAV|||F

OBX|212|CWE|722688^MDC_IDC_MSMT_LEADHVCHNL_MEASUREMENT_TYPE^MDC|1|754433
^MDC_IDC_ENUM_HVCHNL_MEASUREMENT_TYPE_LowVoltage^MDC|||||F

OBX|213|CWE|722752^MDC_IDC_MSMT_LEADHVCHNL_STATUS^MDC|1|754241
^MDC_IDC_ENUM_CHANNEL_STATUS_CheckLead^MDC|||||F

OBX|214|NM|729344^MDC_IDC_SET_CRT_LVRV_DELAY^MDC||-100|ms|||||F

OBX|215|CWE|729408^MDC_IDC_SET_CRT_PACED_CHAMBERS^MDC||755265
^MDC_IDC_ENUM_CRT_PACED_CHAMBERS_RV_Only^MDC|||||F

OBX|216|NM|729536^MDC_IDC_SET_LEADCHNL_RA_SENSING_SENSITIVITY^MDC||0.5|mV|||||F

OBX|217|NM|729537^MDC_IDC_SET_LEADCHNL_RV_SENSING_SENSITIVITY^MDC||0.9|mV|||||F

OBX|218|NM|729539^MDC_IDC_SET_LEADCHNL_LV_SENSING_SENSITIVITY^MDC||1.0|mV|||||F

OBX|219|CWE|729600^MDC_IDC_SET_LEADCHNL_RA_SENSING_POLARITY^MDC|||OFF|||F

OBX|220|CWE|729601^MDC_IDC_SET_LEADCHNL_RV_SENSING_POLARITY^MDC||754305
^MDC_IDC_ENUM_POLARITY_UNI^MDC|||||F

OBX|221|CWE|729676^MDC_IDC_SET_LEADCHNL_LV_SENSING_ANODE_LOCATION^MDC||754498
^MDC_IDC_ENUM_ELECTRODE_LOCATION_RV^MDC|||||F

OBX|222|CWE|729740^MDC_IDC_SET_LEADCHNL_LV_SENSING_ANODE_ELECTRODE^MDC|||OFF|||F

OBX|223|CWE|729804^MDC_IDC_SET_LEADCHNL_LV_SENSING_CATHODE_LOCATION^MDC|||OFF|||F

OBX|224|CWE|729868^MDC_IDC_SET_LEADCHNL_LV_SENSING_CATHODE_ELECTRODE^MDC||754561
^MDC_IDC_ENUM_ELECTRODE_NAME_Tip^MDC|||||F

OBX|225|CWE|729920^MDC_IDC_SET_LEADCHNL_RA_SENSING_ADAPTATION_MODE^MDC||754625
^MDC_IDC_ENUM_SENSING_ADAPTATION_MODE_AdaptiveSensing^MDC|||||F

OBX|226|CWE|729921^MDC_IDC_SET_LEADCHNL_RV_SENSING_ADAPTATION_MODE^MDC||754625
^MDC_IDC_ENUM_SENSING_ADAPTATION_MODE_AdaptiveSensing^MDC|||F

OBX|227|CWE|729923^MDC_IDC_SET_LEADCHNL_LV_SENSING_ADAPTATION_MODE^MDC||754626
^MDC_IDC_ENUM_SENSING_ADAPTATION_MODE_FixedSensing^MDC|||||F

OBX|228|NM|729984^MDC_IDC_SET_LEADCHNL_RA_PACING_AMPLITUDE^MDC||5.1|V|||||F

OBX|229|NM|729985^MDC_IDC_SET_LEADCHNL_RV_PACING_AMPLITUDE^MDC||5.0|V|||||F

OBX|230|NM|729987^MDC_IDC_SET_LEADCHNL_LV_PACING_AMPLITUDE^MDC||2.8|V|||||F

OBX|231|NM|730048^MDC_IDC_SET_LEADCHNL_RA_PACING_PULSEWIDTH^MDC||100.0|ms|||||F

OBX|232|NM|730049^MDC_IDC_SET_LEADCHNL_RV_PACING_PULSEWIDTH^MDC||200.0|ms|||||F

OBX|233|NM|730051^MDC_IDC_SET_LEADCHNL_LV_PACING_PULSEWIDTH^MDC||300.0|ms|||||F

OBX|234|CWE|730112^MDC_IDC_SET_LEADCHNL_RA_PACING_POLARITY^MDC||754305
^MDC_IDC_ENUM_POLARITY_UNI^MDC|||||F

OBX|235|CWE|730113^MDC_IDC_SET_LEADCHNL_RV_PACING_POLARITY^MDC||754305
^MDC_IDC_ENUM_POLARITY_UNI^MDC|||||F

OBX|236|CWE|730188^MDC_IDC_SET_LEADCHNL_LV_PACING_ANODE_LOCATION^MDC||754498
^MDC_IDC_ENUM_ELECTRODE_LOCATION_RV^MDC|||||F

OBX|237|CWE|730252^MDC_IDC_SET_LEADCHNL_LV_PACING_ANODE_ELECTRODE^MDC||754564
^MDC_IDC_ENUM_ELECTRODE_NAME_Ring2^MDC|||||F

OBX|238|CWE|730316^MDC_IDC_SET_LEADCHNL_LV_PACING_CATHODE_LOCATION^MDC||754500
^MDC_IDC_ENUM_ELECTRODE_LOCATION_LV^MDC|||||F

OBX|239|CWE|730380^MDC_IDC_SET_LEADCHNL_LV_PACING_CATHODE_ELECTRODE^MDC||754566
^MDC_IDC_ENUM_ELECTRODE_NAME_Ring4^MDC|||||F

OBX|240|CWE|730432^MDC_IDC_SET_LEADCHNL_RA_PACING_CAPTURE_MODE^MDC||754690
^MDC_IDC_ENUM_PACING_CAPTURE_MODE_FixedPacing^MDC|||||F

OBX|241|CWE|730433^MDC_IDC_SET_LEADCHNL_RV_PACING_CAPTURE_MODE^MDC||754691
 ^MDC_IDC_ENUM_PACING_CAPTURE_MODE_MonitorCapture^MDC|||||F
 OBX|242|CWE|730435^MDC_IDC_SET_LEADCHNL_LV_PACING_CAPTURE_MODE^MDC||754690
 ^MDC_IDC_ENUM_PACING_CAPTURE_MODE_FixedPacing^MDC|||||F
 OBX|243|CWE|730752^MDC_IDC_SET_BRADY_MODE^MDC||754760^MDC_IDC_ENUM_BRADY_MODE_DDD
 ^MDC|||||F
 OBX|244|NM|730880^MDC_IDC_SET_BRADY_LOWRATE^MDC||100|{beats}/min|||||F
 OBX|245|ST|731072^MDC_IDC_SET_BRADY_SENSOR_TYPE^MDC|Acelerômetro + VM|||||F
 OBX|246|NM|731136^MDC_IDC_SET_BRADY_MAX_TRACKING_RATE^MDC||130|{beats}/min|||||F
 OBX|247|NM|731200^MDC_IDC_SET_BRADY_MAX_SENSOR_RATE^MDC||180|{beats}/min|||||F
 OBX|248|NM|731265^MDC_IDC_SET_BRADY_SAV_DELAY_HIGH^MDC||102|ms|||||F
 OBX|249|NM|731266^MDC_IDC_SET_BRADY_SAV_DELAY_LOW^MDC||101|ms|||||F
 OBX|250|NM|731329^MDC_IDC_SET_BRADY_PAV_DELAY_HIGH^MDC||104|ms|||||F
 OBX|251|NM|731330^MDC_IDC_SET_BRADY_PAV_DELAY_LOW^MDC||103|ms|||||F
 OBX|252|CWE|731392^MDC_IDC_SET_BRADY_AT_MODE_SWITCH_MODE^MDC||754763
 ^MDC_IDC_ENUM_BRADY_MODE_DDIR^MDC|||||F
 OBX|253|NM|731456^MDC_IDC_SET_BRADY_AT_MODE_SWITCH_RATE^MDC||130|{beats}/min|||||F
 OBX|254|CWE|731520^MDC_IDC_SET_TACHYTHERAPY_VSTAT^MDC||754817
 ^MDC_IDC_ENUM_THERAPY_STATUS_On^MDC|||||F
 OBX|255|CWE|731648^MDC_IDC_SET_ZONE_TYPE^MDC|1|754945^MDC_IDC_ENUM_ZONE_TYPE_Zone_VF
 ^MDC|||||F
 OBX|256|CWE|731712^MDC_IDC_SET_ZONE_VENDOR_TYPE^MDC|1|771139
 ^MDC_IDC_ENUM_ZONE_VENDOR_TYPE_BSX-Zone_VF^MDC|||||F
 OBX|257|CWE|731776^MDC_IDC_SET_ZONE_STATUS^MDC|1|755009
 ^MDC_IDC_ENUM_ZONE_STATUS_Active^MDC|||||F
 OBX|258|NM|731840^MDC_IDC_SET_ZONE_DETECTION_INTERVAL^MDC|1|462|ms|||||F
 OBX|259|CWE|732097^MDC_IDC_SET_ZONE_TYPE_ATP_1^MDC|1|755073
 ^MDC_IDC_ENUM_ATP_TYPE_Burst^MDC|||||F
 OBX|260|NM|732161^MDC_IDC_SET_ZONE_NUM_ATP_SEQS_1^MDC|1|1|||||F
 OBX|261|NM|732225^MDC_IDC_SET_ZONE_SHOCK_ENERGY_1^MDC|1|21.1|J|||||F
 OBX|262|NM|732289^MDC_IDC_SET_ZONE_NUM_SHOCKS_1^MDC|1|1|||||F
 OBX|263|NM|732226^MDC_IDC_SET_ZONE_SHOCK_ENERGY_2^MDC|1|31.1|J|||||F
 OBX|264|NM|732290^MDC_IDC_SET_ZONE_NUM_SHOCKS_2^MDC|1|1|||||F
 OBX|265|NM|732227^MDC_IDC_SET_ZONE_SHOCK_ENERGY_3^MDC|1|41.1|J|||||F
 OBX|266|NM|732291^MDC_IDC_SET_ZONE_NUM_SHOCKS_3^MDC|1|6|||||F
 OBX|267|CWE|731648^MDC_IDC_SET_ZONE_TYPE^MDC|2|754946^MDC_IDC_ENUM_ZONE_TYPE_Zone_VT
 ^MDC|||||F
 OBX|268|CWE|731712^MDC_IDC_SET_ZONE_VENDOR_TYPE^MDC|2|771137
 ^MDC_IDC_ENUM_ZONE_VENDOR_TYPE_BSX-Zone_VT^MDC|||||F
 OBX|269|CWE|731776^MDC_IDC_SET_ZONE_STATUS^MDC|2|755009
 ^MDC_IDC_ENUM_ZONE_STATUS_Active^MDC|||||F
 OBX|270|NM|731840^MDC_IDC_SET_ZONE_DETECTION_INTERVAL^MDC|2|463|ms|||||F
 OBX|271|CWE|732097^MDC_IDC_SET_ZONE_TYPE_ATP_1^MDC|2|755073
 ^MDC_IDC_ENUM_ATP_TYPE_Burst^MDC|||||F
 OBX|272|NM|732161^MDC_IDC_SET_ZONE_NUM_ATP_SEQS_1^MDC|2|2|||||F
 OBX|273|CWE|732098^MDC_IDC_SET_ZONE_TYPE_ATP_2^MDC|2|755074
 ^MDC_IDC_ENUM_ATP_TYPE_Ramp^MDC|||||F
 OBX|274|NM|732162^MDC_IDC_SET_ZONE_NUM_ATP_SEQS_2^MDC|2|3|||||F
 OBX|275|NM|732225^MDC_IDC_SET_ZONE_SHOCK_ENERGY_1^MDC|2|22.2|J|||||F
 OBX|276|NM|732289^MDC_IDC_SET_ZONE_NUM_SHOCKS_1^MDC|2|1|||||F
 OBX|277|NM|732226^MDC_IDC_SET_ZONE_SHOCK_ENERGY_2^MDC|2|32.2|J|||||F
 OBX|278|NM|732290^MDC_IDC_SET_ZONE_NUM_SHOCKS_2^MDC|2|1|||||F
 OBX|279|NM|732227^MDC_IDC_SET_ZONE_SHOCK_ENERGY_3^MDC|2|42.2|J|||||F
 OBX|280|NM|732291^MDC_IDC_SET_ZONE_NUM_SHOCKS_3^MDC|2|3|||||F
 OBX|281|CWE|731648^MDC_IDC_SET_ZONE_TYPE^MDC|3|754946^MDC_IDC_ENUM_ZONE_TYPE_Zone_VT
 ^MDC|||||F
 OBX|282|CWE|731712^MDC_IDC_SET_ZONE_VENDOR_TYPE^MDC|3|771138
 ^MDC_IDC_ENUM_ZONE_VENDOR_TYPE_BSX-Zone_VT-1^MDC|||||F
 OBX|283|CWE|731776^MDC_IDC_SET_ZONE_STATUS^MDC|3|755009
 ^MDC_IDC_ENUM_ZONE_STATUS_Active^MDC|||||F
 OBX|284|NM|731840^MDC_IDC_SET_ZONE_DETECTION_INTERVAL^MDC|3|465|ms|||||F
 OBX|285|CWE|732097^MDC_IDC_SET_ZONE_TYPE_ATP_1^MDC|3|755074
 ^MDC_IDC_ENUM_ATP_TYPE_Ramp^MDC|||||F
 OBX|286|NM|732161^MDC_IDC_SET_ZONE_NUM_ATP_SEQS_1^MDC|3|4|||||F

OBX|287|CWE|732098^MDC_IDC_SET_ZONE_TYPE_ATP_2^MDC|3|755076
^MDC_IDC_ENUM_ATP_TYPE_RampScan^MDC|||||F
OBX|288|NM|732162^MDC_IDC_SET_ZONE_NUM_ATP_SEQS_2^MDC|3|5|||||F
OBX|289|NM|732225^MDC_IDC_SET_ZONE_SHOCK_ENERGY_1^MDC|3|23.2|J|||||F
OBX|290|NM|732289^MDC_IDC_SET_ZONE_NUM_SHOCKS_1^MDC|3|1|||||F
OBX|291|NM|732226^MDC_IDC_SET_ZONE_SHOCK_ENERGY_2^MDC|3|33.2|J|||||F
OBX|292|NM|732290^MDC_IDC_SET_ZONE_NUM_SHOCKS_2^MDC|3|1|||||F
OBX|293|NM|732227^MDC_IDC_SET_ZONE_SHOCK_ENERGY_3^MDC|3|43.2|J|||||F
OBX|294|NM|732291^MDC_IDC_SET_ZONE_NUM_SHOCKS_3^MDC|3|2|||||F
OBX|295|DTM|737489^MDC_IDC_STAT_DTM_START^MDC||20120522|||||F
OBX|296|DTM|737490^MDC_IDC_STAT_DTM_END^MDC||20120522|||||F
OBX|297|DTM|737505^MDC_IDC_STAT_BRADY_DTM_START^MDC||20120522|||||F
OBX|298|DTM|737506^MDC_IDC_STAT_BRADY_DTM_END^MDC||20120522|||||F
OBX|299|NM|737520^MDC_IDC_STAT_BRADY_RA_PERCENT_PACED^MDC||0%|||||F
OBX|300|NM|737536^MDC_IDC_STAT_BRADY_RV_PERCENT_PACED^MDC||0%|||||F
OBX|301|DTM|737777^MDC_IDC_STAT_CRD_DTM_START^MDC||20120522|||||F
OBX|302|DTM|737778^MDC_IDC_STAT_CRD_DTM_END^MDC||20120522|||||F
OBX|303|NM|737792^MDC_IDC_STAT_CRD_LV_PERCENT_PACED^MDC||0%|||||F
OBX|304|CWE|737952^MDC_IDC_STAT_EPISODE_TYPE^MDC|1|754882
^MDC_IDC_ENUM_EPISODE_TYPE_Epis_VT^MDC|||||F
OBX|305|CWE|737984^MDC_IDC_STAT_EPISODE_VENDOR_TYPE^MDC|1|771077
^MDC_IDC_ENUM_EPISODE_VENDOR_TYPE_BSX-Epis_NSVT^MDC|||||F
OBX|306|NM|738000^MDC_IDC_STAT_EPISODE_RECENT_COUNT^MDC|1|0|||||F
OBX|307|DTM|738017^MDC_IDC_STAT_EPISODE_RECENT_COUNT_DTM_START^MDC|1|20120522|||||F
OBX|308|DTM|738018^MDC_IDC_STAT_EPISODE_RECENT_COUNT_DTM_END^MDC|1|20120522|||||F
OBX|309|CWE|737952^MDC_IDC_STAT_EPISODE_TYPE^MDC|1|754882
^MDC_IDC_ENUM_EPISODE_TYPE_Epis_VT^MDC|||||F
OBX|310|CWE|737984^MDC_IDC_STAT_EPISODE_VENDOR_TYPE^MDC|1|||||F
OBX|311|NM|738000^MDC_IDC_STAT_EPISODE_RECENT_COUNT^MDC|1|0|||||F
OBX|312|DTM|738017^MDC_IDC_STAT_EPISODE_RECENT_COUNT_DTM_START^MDC|1|20120522|||||F
OBX|313|DTM|738018^MDC_IDC_STAT_EPISODE_RECENT_COUNT_DTM_END^MDC|1|20120522|||||F
OBX|314|CWE|737952^MDC_IDC_STAT_EPISODE_TYPE^MDC|2|754884
^MDC_IDC_ENUM_EPISODE_TYPE_Epis_SVT^MDC|||||F
OBX|315|CWE|737984^MDC_IDC_STAT_EPISODE_VENDOR_TYPE^MDC|2|771076
^MDC_IDC_ENUM_EPISODE_VENDOR_TYPE_BSX-Epis_SVT^MDC|||||F
OBX|316|NM|738000^MDC_IDC_STAT_EPISODE_RECENT_COUNT^MDC|2|0|||||F
OBX|317|DTM|738017^MDC_IDC_STAT_EPISODE_RECENT_COUNT_DTM_START^MDC|2|20120522|||||F
OBX|318|DTM|738018^MDC_IDC_STAT_EPISODE_RECENT_COUNT_DTM_END^MDC|2|20120522|||||F
OBX|319|CWE|737952^MDC_IDC_STAT_EPISODE_TYPE^MDC|4|754883
^MDC_IDC_ENUM_EPISODE_TYPE_Epis_ATAF^MDC|||||F
OBX|320|CWE|737984^MDC_IDC_STAT_EPISODE_VENDOR_TYPE^MDC|4|771078
^MDC_IDC_ENUM_EPISODE_VENDOR_TYPE_BSX-Epis_ATR^MDC|||||F
OBX|321|NM|738000^MDC_IDC_STAT_EPISODE_RECENT_COUNT^MDC|4|0|||||F
OBX|322|DTM|738017^MDC_IDC_STAT_EPISODE_RECENT_COUNT_DTM_START^MDC|4|20120522|||||F
OBX|323|DTM|738018^MDC_IDC_STAT_EPISODE_RECENT_COUNT_DTM_END^MDC|4|20120522|||||F
OBX|324|CWE|737952^MDC_IDC_STAT_EPISODE_TYPE^MDC|5|754888
^MDC_IDC_ENUM_EPISODE_TYPE_Epis_Other^MDC|||||F
OBX|325|CWE|737984^MDC_IDC_STAT_EPISODE_VENDOR_TYPE^MDC|5|0|||||F
OBX|326|NM|738000^MDC_IDC_STAT_EPISODE_RECENT_COUNT^MDC|5|0|||||F
OBX|327|DTM|738017^MDC_IDC_STAT_EPISODE_RECENT_COUNT_DTM_START^MDC|5|20120522|||||F
OBX|328|DTM|738018^MDC_IDC_STAT_EPISODE_RECENT_COUNT_DTM_END^MDC|5|20120522|||||F
OBX|329|CWE|737952^MDC_IDC_STAT_EPISODE_TYPE^MDC|6|754881
^MDC_IDC_ENUM_EPISODE_TYPE_Epis_VF^MDC|||||F
OBX|330|CWE|737984^MDC_IDC_STAT_EPISODE_VENDOR_TYPE^MDC|6|771073
^MDC_IDC_ENUM_EPISODE_VENDOR_TYPE_BSX-Epis_VF^MDC|||||F
OBX|331|NM|738000^MDC_IDC_STAT_EPISODE_RECENT_COUNT^MDC|6|1|||||F
OBX|332|DTM|738017^MDC_IDC_STAT_EPISODE_RECENT_COUNT_DTM_START^MDC|6|20120522|||||F
OBX|333|DTM|738018^MDC_IDC_STAT_EPISODE_RECENT_COUNT_DTM_END^MDC|6|20120522|||||F
OBX|334|CWE|737952^MDC_IDC_STAT_EPISODE_TYPE^MDC|7|754882
^MDC_IDC_ENUM_EPISODE_TYPE_Epis_VT^MDC|||||F
OBX|335|CWE|737984^MDC_IDC_STAT_EPISODE_VENDOR_TYPE^MDC|7|771074
^MDC_IDC_ENUM_EPISODE_VENDOR_TYPE_BSX-Epis_VT^MDC|||||F
OBX|336|NM|738000^MDC_IDC_STAT_EPISODE_RECENT_COUNT^MDC|7|2|||||F
OBX|337|DTM|738017^MDC_IDC_STAT_EPISODE_RECENT_COUNT_DTM_START^MDC|7|20120522|||||F
OBX|338|DTM|738018^MDC_IDC_STAT_EPISODE_RECENT_COUNT_DTM_END^MDC|7|20120522|||||F

```

OBX|339|CWE|737952^MDC_IDC_STAT_EPISODE_TYPE^MDC|8|754882
^MDC_IDC_ENUM_EPISODE_TYPE_Epis_VT^MDC|||||F
OBX|340|CWE|737984^MDC_IDC_STAT_EPISODE_VENDOR_TYPE^MDC|8|771075
^MDC_IDC_ENUM_EPISODE_VENDOR_TYPE_BSX-Epis_VT-1^MDC|||||F
OBX|341|NM|738000^MDC_IDC_STAT_EPISODE_RECENT_COUNT^MDC|8|3|||||F
OBX|342|DTM|738017^MDC_IDC_STAT_EPISODE_RECENT_COUNT_DTM_START^MDC|8|20120522|||||F
OBX|343|DTM|738018^MDC_IDC_STAT_EPISODE_RECENT_COUNT_DTM_END^MDC|8|20120522|||||F
OBX|344|CWE|737952^MDC_IDC_STAT_EPISODE_TYPE^MDC|9|754884
^MDC_IDC_ENUM_EPISODE_TYPE_Epis_Monitor^MDC|||||F
OBX|345|CWE|737984^MDC_IDC_STAT_EPISODE_VENDOR_TYPE^MDC|9|||||F
OBX|346|NM|738000^MDC_IDC_STAT_EPISODE_RECENT_COUNT^MDC|9|4|||||F
OBX|347|DTM|738017^MDC_IDC_STAT_EPISODE_RECENT_COUNT_DTM_START^MDC|9|20120522|||||F
OBX|348|DTM|738018^MDC_IDC_STAT_EPISODE_RECENT_COUNT_DTM_END^MDC|9|20120522|||||F

```

Outdated version. Do not use.
 Version überholt. Nicht verwenden.
 Version obsolete. Ne pas utiliser.
 Versión obsoleta. No utilizar.
 Versione obsoleta. Non utilizzate.
 Verouderde versie. Niet gebruiken.
 Παλιά έκδοση. Μην την χρησιμοποιείτε.
 Versão obsoleta. Não utilize.
 Föråldrad version. Använd ej.
 Zastaralá verze. Nepoužívat.
 Utdatert versjon. Skal ikke brukes.
 Zastaraná verzia. Nepoužívať.
 Elavult verzió. Ne használja!
 Wersja nieaktualna. Nie używać.

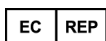
Outdated version. Do not use.
Version überholt. Nicht verwenden.
Version obsolète. Ne pas utiliser.
Versión obsoleta. No utilizar.
Versione obsoleta. Non utilizzare.
Verouderde versie. Niet gebruiken.
Föråldrad version. Använd ej.
Παλιά έκδοση. Μην την χρησιμοποιείτε.
Versão obsoleta. Não utilize.
Forældet version. Må ikke anvendes.
Zastaralá verze. Nepoužívat.
Utdatert versjon. Skal ikke brukes.
Zastaraná verzia. Nepoužívať.
Elavult verzió. Ne használja!
Wersja nieaktualna. Nie używać.

Outdated version. Do not use.
Version überholt. Nicht verwenden.
Version obsolète. Ne pas utiliser.
Versión obsoleta. No utilizar.
Versione obsoleta. Non utilizzare.
Verouderde versie. Niet gebruiken.
Föråldrad version. Använd ej.
Παλιά έκδοση. Μην την χρησιμοποιείτε.
Versão obsoleta. Não utilize.
Forældet version. Må ikke anvendes.
Zastaralá verze. Nepoužívat.
Utdatert versjon. Skal ikke brukes.
Zastaraná verzia. Nepoužívať.
Elavult verzió. Ne használja!
Wersja nieaktualna. Nie używać.

Boston Scientific



Boston Scientific
4100 Hamline Avenue North
St. Paul, MN 55112-5798 USA



Guidant Europe NV/SA; Boston Scientific
Green Square, Lambroekstraat 5D
1831 Diegem, Belgium

1.800.CARDIAC (227.3422)
+1.651.582.4000

www.bostonscientific.com

© 2013 Boston Scientific Corporation or its affiliates.
All rights reserved.

359273-007 PT Europe 2013-10

Outdated version. Do not use.
Version überholt. Nicht verwenden.
Version obsolete. Ne pas utiliser.
Versión obsoleta. No utilizar.
Versione obsoleta. Non utilizzare.
Verouderde versie. Niet gebruiken.
Föråldrad version. Använd ej.
Παλιά έκδοση. Μην την χρησιμοποιείτε.
Versão obsoleta. Não utilize.
Forældet version. Må ikke anvendes.
Zastaralá verze. Nepoužívat.
Utdatert versjon. Skal ikke brukes.
Zastaraná verzia. Nepoužívať.
Elavult verzió. Ne használja!
Wersja nieaktualna. Nie używać.

CE

